東京都立大学 正員 山 本 稔 東京都立大学 正員 O 山 崎 良 一

せん断応力は、等色線と等傾曲線の併用によって分離することができる。この方法は、従来せん断応力差積分法への応用として応力解析法の主流をなしてきたが、等傾曲線の不明瞭さに基因する計測のわずらわしさは、この種の解析を行なった技術者の一様に経験するところであるとおもわれる。これにたいして2次元光弾性実験においては、別途に材料を選定して等傾曲線を観測し、問題臭を可及的に除去するとともに実験精度の向上を計ることも可能であるが、三次元応力凍結においてはこの手段も事実上応用できないのが実情である。このような事情から、等色線の計測のみでせん断応力の分離が可能になれば、その観測精度に応じた解析結果が期待できるばかりか、三次元応力凍結法においては実験法の简略化も計られるようにみえるし、また2次元光弾性実験においても、等傾曲線による従来の方法と組合せて一層の精度の向上が可能になると思われる。筆者等の提案する等色線複合法(仮称)は、この可能性に応えるものであって、応力凍結法によるスライスの等色線稿写真とそのスライスに既知の応力を宣合してえられる複合等色線稿写真とを併用し、両者の間の等色線の乱れからせん断応力を分離するものである。

がカの凍結されているスライスの面内に又,な軸を選ぶとき,又な面を応力面とする応力がの減, の気,ではであるとすれば、その応力面に関する2次を応力のでは、のでは

$$\frac{\sigma_{TR}}{\sigma_{TR}} = \frac{\sigma_{TR} + \sigma_{\overline{\gamma}R}}{2} + \frac{1}{2} \sqrt{\left(\sigma_{TR} - \sigma_{\overline{\gamma}R}\right)^2 + 4\tau_{X_{\overline{\gamma}R}}^2}$$
(1)

したがって、スライスの等色線縞次数 Maは

ここに Ma, taは, 応力凍結スライスの光弾性感度ならびにスライスの厚さである。いま, この応力凍結スライスを弾性学上の解をもつ適当な形に加工して既知の応力 Oze, Oze, Taye を常温で重合すれば, 複合等色線縞次数 Ne がえられ

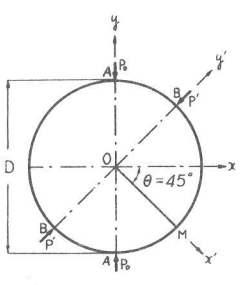
$$\mathcal{N}_{\text{S}} = \alpha_{\text{R}} \cdot \text{te} \int \left\{ \left(\sqrt{\sigma_{\text{X}}} e - \sigma_{\overline{\text{y}}} e \right) \right. \\ \left. + \frac{\alpha_{\text{E}} \cdot \text{te}}{\alpha_{\text{A}} \cdot \text{te}} \left(\sqrt{\sigma_{\text{X}}} e - \sigma_{\overline{\text{y}}} e \right) \right\}^{2} + 4 \left(\sqrt{\tau_{\text{X}}} e + \frac{\alpha_{\text{E}} \cdot \text{te}}{\alpha_{\text{E}} \cdot \text{te}} \sqrt{\alpha_{\text{Y}}} e \right)^{2} \right. \\ \left. - \left(\sqrt{\sigma_{\text{X}}} e - \sigma_{\overline{\text{y}}} e \right) \right\} \\ \left. + \frac{\alpha_{\text{E}} \cdot \text{te}}{\alpha_{\text{A}} \cdot \text{te}} \left(\sqrt{\sigma_{\text{X}}} e - \sigma_{\overline{\text{y}}} e \right) \right\}^{2} \\ \left. + \left(\sqrt{\tau_{\text{X}}} e - \sigma_{\overline{\text{y}}} e \right) \right\} \\ \left. + \frac{\alpha_{\text{E}} \cdot \text{te}}{\alpha_{\text{E}} \cdot \text{te}} \left(\sqrt{\sigma_{\text{X}}} e - \sigma_{\overline{\text{y}}} e \right) \right\}^{2} \\ \left. + \left(\sqrt{\tau_{\text{X}}} e - \sigma_{\overline{\text{y}}} e \right) \right\} \\ \left. + \left(\sqrt{\tau_{\text{X}}} e - \sigma_{\overline{\text{y}}} e \right) \right\} \\ \left. + \left(\sqrt{\tau_{\text{X}}} e - \sigma_{\overline{\text{y}}} e \right) \right\} \\ \left. + \left(\sqrt{\tau_{\text{X}}} e - \sigma_{\overline{\text{y}}} e \right) \right\} \\ \left. + \left(\sqrt{\tau_{\text{X}}} e - \sigma_{\overline{\text{y}}} e \right) \right\} \\ \left. + \left(\sqrt{\tau_{\text{X}}} e - \sigma_{\overline{\text{y}}} e \right) \right\} \\ \left. + \left(\sqrt{\tau_{\text{X}}} e - \sigma_{\overline{\text{y}}} e \right) \right\} \\ \left. + \left(\sqrt{\tau_{\text{X}}} e - \sigma_{\overline{\text{y}}} e \right) \right\} \\ \left. + \left(\sqrt{\tau_{\text{X}}} e - \sigma_{\overline{\text{y}}} e \right) \right\} \\ \left. + \left(\sqrt{\tau_{\text{X}}} e - \sigma_{\overline{\text{y}}} e \right) \right\} \\ \left. + \left(\sqrt{\tau_{\text{X}}} e - \sigma_{\overline{\text{y}}} e \right) \right\} \\ \left. + \left(\sqrt{\tau_{\text{X}}} e - \sigma_{\overline{\text{y}}} e \right) \right\} \\ \left. + \left(\sqrt{\tau_{\text{X}}} e - \sigma_{\overline{\text{y}}} e \right) \right\} \\ \left. + \left(\sqrt{\tau_{\text{X}}} e - \sigma_{\overline{\text{y}}} e \right) \right\} \\ \left. + \left(\sqrt{\tau_{\text{X}}} e - \sigma_{\overline{\text{y}}} e \right) \right\} \\ \left. + \left(\sqrt{\tau_{\text{X}}} e - \sigma_{\overline{\text{y}}} e \right) \right\} \\ \left. + \left(\sqrt{\tau_{\text{X}}} e - \sigma_{\overline{\text{y}}} e \right) \right\} \\ \left. + \left(\sqrt{\tau_{\text{X}}} e - \sigma_{\overline{\text{y}}} e \right) \right\} \\ \left. + \left(\sqrt{\tau_{\text{X}}} e - \sigma_{\overline{\text{y}}} e \right) \right\} \\ \left. + \left(\sqrt{\tau_{\text{X}}} e - \sigma_{\overline{\text{y}}} e \right) \right\} \\ \left. + \left(\sqrt{\tau_{\text{X}}} e - \sigma_{\overline{\text{y}}} e \right) \right\} \\ \left. + \left(\sqrt{\tau_{\text{X}}} e - \sigma_{\overline{\text{y}}} e \right) \right\} \\ \left. + \left(\sqrt{\tau_{\text{X}}} e - \sigma_{\overline{\text{y}}} e \right) \right\} \\ \left. + \left(\sqrt{\tau_{\text{X}}} e - \sigma_{\overline{\text{y}}} e \right) \right\} \\ \left. + \left(\sqrt{\tau_{\text{X}}} e - \sigma_{\overline{\text{y}}} e \right) \right\} \\ \left. + \left(\sqrt{\tau_{\text{X}}} e - \sigma_{\overline{\text{y}}} e \right) \right\} \\ \left. + \left(\sqrt{\tau_{\text{X}}} e - \sigma_{\overline{\text{y}}} e \right) \right\} \\ \left. + \left(\sqrt{\tau_{\text{X}}} e - \sigma_{\overline{\text{y}}} e \right) \right\} \\ \left. + \left(\sqrt{\tau_{\text{X}}} e - \sigma_{\overline{\text{y}}} e \right) \right\} \\ \left. + \left(\sqrt{\tau_{\text{X}}} e - \sigma_{\overline{\text{y}}} e \right) \right\} \\ \left. + \left(\sqrt{\tau_{\text{X}}} e - \sigma_{\overline{\text{y}}} e \right) \right\} \\ \left. + \left(\sqrt{\tau_{\text{X}}} e - \sigma_{\overline{\text{y}}} e \right) \right\} \\ \left. + \left(\sqrt{\tau_{\text{X}}} e - \sigma_{\overline{\text{y}}} e \right) \right\} \\ \left. + \left($$

となる。ここに Me, telt, 常温におけるスライスの光弾性感度および応力重合時のスライスの厚さである。一方, 常温で加えた既知の応力 Oka, Oka, Okaのみによる等色線縞次数 No. は

$$\overline{Gyz} = \frac{1}{4m_o^2} \cdot \frac{\kappa_e \cdot t_e}{\kappa_e \cdot t_e} \left\{ 2 \overline{Gyz} \left(m_z^2 - m_e^2 - m_o^2 \right) \pm \left(\overline{Gyz} - \overline{Gyz} \right) \sqrt{2 n_o^2 \left(m_e^2 - m_a^2 \right) - \left(m_e^2 - m_a^2 \right)^2 - m_o^4} \right\} - - - (5)$$

かくして, 複合等色線の併用により等色線写真のみからせん断応力が分離できる。

この方法を具体的に説明するために、関ー1の円板に大きさ等しく方向反対な2カRが直径AAに沿って働く2次元向題において0M断面上のせん断応力を分離してみよう。この向題には厳密解が存在するから、は厳密解が存在するから、



<u>v</u> — 1



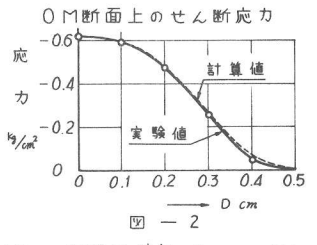
写真 - 1

複合編写真



写真 - 2

製験結果は、また解析法の信頼性を判定する資料としても役立つ。写 $e^{-0.66}$ 真一」は、直径 D=5.025 cm 、厚さ t=0.628 cm のエポキシ樹脂モデ b=0.628 cm の正ポキシ樹脂モデ b=0.628 cm の正ポキシ樹脂モデ b=0.628 cm の正ポキシ樹脂モデ b=0.628 cm の正ポキシ樹脂モデ b=0.628 に変きない。 b=0.628 cm のエポキシ樹脂モデ b=0.628 に変きない。 b=0.628 に変すない。 b=0.628 に変すない。 b=0.628 に変すない。 b=0.628 に変すない。 b=0.628 にない。 b=0.6288 にない。 b=0.6288 にない。 b=0.6288 にない。 b=0.6288 にない。 b=0.



て P'=48.025kg を負荷してなられた複合等色線写真である。ここに,材料の光弾性感度 0kg=4.218cm/kg, 1812年0.0987cmgである。写真一1および2からNe、Neがえられ,また Neo は次式から求められる。

$$\mathcal{N}_{\ell \circ} \, = \, \varkappa_{\ell} \cdot t_{\ell} \, \sqrt{(\sigma_{\overline{x}'\ell}^{2} - \sigma_{\overline{y}'\ell}^{2})^{2} \, - \, 4 \, \tau_{x'j\ell}^{2}} \, = \, \varkappa_{\ell} \cdot t_{\ell} \, \, \frac{2 \, \beta'}{\pi \, t \, D} \, \left\{ \frac{4 \, \beta^{2} (D^{2} - 4 \chi^{2})}{(D^{2} + 4 \chi^{2})^{2}} \right\}$$

これらの各値を(6)式に代入することによって〇M断面上のせん断応力及なが求められる。図ー2にかくして文られた実験値と理論計算から求めた計算値を示した。図は単に「例にすぎないが、実験値は計算値をよく説明できるし、しかも解析精度は、等色線縞次数の観測精度に応じて定まるようにみなる。一般の応力凍結スライスにおいては、あらかじめ理論解が明らかでないから、そのスライスから理論解の適用しやすい形状のモデルを新たに切出さなければならぬ。このとき、当然のことながら、応力解析断面の位置や解析範囲を考慮して析定の部分に理論解が適用できるよう工夫されなければならぬ。利用される理論解としては載荷の容易を単純なものが好ましく、例文ば梁の純曲け、板の一様 引張または圧縮、上に例示した円板の圧縮、頂桌に集中荷室を受けるクサビ等の理論が挙げられる。

等色線複合法の特長は、一つに等傾曲線を利用しないことであるが、これによって生ずる利臭を列挙すれば (1)、三次元応力凍結法を利用する場合には、せん断応力の解析精度を向上させることができるし、また対象によっては実験に要する労力も軽減することができる。(2)、等傾曲線による従来の方法と併用して実験精度を向上させることができる。(3)、等色線の測定精度に合せて実験精度を向上させることができる。(4)、理論解の応力表を用意することにより機械的にせん断応力が分離できる。(5)、2種以上の理論解を利用し、互に実験結果を照査させることができる。一方、欠臭としては、(1)、三次元応力凍結モデルからなられたスライスに既知の応力を加えるに当たっては、浸漬液の中で載荷する必要がある。しかし、土木、建築分野にあける薄肉構造物の実験にあいては工夫によってこの欠陥を除去できるようにみなる。(2)、2次元向題に応用する場合にあいても、一般には実験に応力凍結を利用しなければならない。(3)、せん断応力の方向が一意的に定まらない。(4)、実験の対象によっては、既知の理論解を利用するのに不同な場合が存在する。終りに、研究に当たって本学学生面島国昭君の助力を欠たことを付記して感謝にかなる。